

روابط صحرايي، ژئوشيمى و خاستگاه ژئوديناميكي نهشته‌ي کروميتى معدن بندان (شرق ايران)

مرتضى دلاوری^{۱*}، صدرالدین امينی^۱، اميليو ساكاني^۲

۱- تهران، دانشگاه تربیت معلم تهران، دانشکده علوم، گروه زمین شناسی

۲- ایتالیا، فرارا، دانشگاه فرارا، دپارتمان علوم

(دریافت مقاله: ۸۸/۱۱/۲۸، نسخه نهایی: ۸۹/۵/۳۰)

چکیده: معدن بندان اصلی‌ترین ذخیره‌ی کرومیت در زون جوش‌خورده‌ی سیستان (شرق ایران) است. توده‌های کرومیتی به صورت ساختارهای ورقه‌ای تا عدسی شکل تظاهر داشته و با پریدوتیت‌های گوشه‌ای بیشتر دونیتی تا هارزبورژیتی می‌شوند. رابطه‌ی کرومیتیت-سنگ میزبان مشابه با کرومیت‌های نوع آلپی با حضور یک غشای دونیتی پیرامون توده‌های کرومیتی مشخص می‌شود. کرومیت‌ها بیشتر بافت توده‌ای تا افشار و نیز برشی دارند. شیمی کرومیت‌ها میزان TiO_2 کم (کمتر از ۰/۲ درصد وزنی) در گستره‌ی کرومیت‌های افیولیتی نشان داده و نسبت Cr/Fe بیشتر از ۲ است. مقدار $\text{Cr} \# = \text{Cr} \times 100 / (\text{Cr} + \text{Al})$ در گستره‌ی تقریبی ۵۰ تا ۵۲ آن‌ها را در گروه کرومیت‌های Al-بالا قرار داده و ترکیب محاسباتی شیمی ماقمای مادر با میزان Al_2O_3 و نسبت FeO/MgO به ترتیب حدود ۱۵ تا ۱۶ درصد وزنی و ۱/۱ تا ۱/۲ اشاره به سرشت نوع (Mid-ocean ridge basalt) MORB دارد. با اینکه درباره خاستگاه ژئودینامیکی کرومیت‌های Al-بالا تردید وجود دارد ولی بنابر شواهد سنگ‌شناسی- ژئوشیمیایی در توالی گوشه-پوسته افیولیتی، امکان ارتباط فرایند تشکیل کرومیت به جایگاه بالای زون فروزانش وجود دارد.

واژه‌های کلیدی: کرومیت انبانه‌ای، نوع Al-بالا، معدن بندان، شرق ایران.

مقدمه

گروه نوع آلپی هستند [۳]. در ایران، مناطقی که در حال حاضر در آن‌ها معادن در حال بهره‌برداری کرومیت وجود دارد شامل سبزوار، فاریاب، اسفندقه، نیریز و نقاطی در شرق ایران است. معدن کرومیت بندان اصلی‌ترین ذخیره کرومیت در شرق ایران است و بهمین دلیل در این مطالعه اختصاصات صحرايي و ژئوشيميايی آن مورد بحث قرار گرفته است. جايگاه ژئوديناميک کرومیت‌های انبانه‌ای نيز از نظر ارتباط آن با جايگاه "MOR" [۱] یا "SSZ" [۴] در سال‌های اخیر بحث‌های فراوانی بدنبال داشته است که در اين پژوهش اشاره شده است.

کانسارهای کرومیتی مشتمل بر دو نوع آلپی (انبانه‌ای) و نوع لایه‌ای هستند. ذخایر نوع آلپی نسبت به نوع لایه‌ای با حجم کمتر و غالباً به شکل نامنظم و گاهی با دگرگشکلی شدید بیشتر درون سنگ میزبان پریدوتیت گوشه‌ای قرار می‌گیرند [۱]. در عوض ذخایر نوع لایه‌ای با حجم گستردگر و غالباً به صورت لایه‌های منظم حاصل از جدایش از ماقمای مادر گابرویی مثل همبافت بوشولد هستند [۲]. کانسارهای کرومیتی ایران همگی در مجموعه‌های افیولیتی و افیولیت ملاترها واقع شده و بدین ترتیب مشابه دیگر کانسارهای مناطق افیولیتی در عمان، ترکیه و منطقه‌ی بالкан عموماً شکل نامنظم و غیرلایه‌ای داشته و از

1- Mid-Ocean Ridge

2- Supra-subduction zone

افیولیتی نهیندان)، پریدوتیت‌های گوشه‌ای با درجات تهی‌شدگی متفاوت تشکیل دهنده‌ی طیفی از هارزبورژیت تا کلینوپیروکسن-هارزبورژیت هستند و ژئوشیمی آن‌ها با شکل-گیری و تنوع خاستگاه "MOR" تا "SSZ" همخوانی دارد. ویژگی‌های سنگ‌شناسی و ژئوشیمیایی نشان می‌دهد توالی پوسته‌ای نوع MORB^۵ در، واقع نشان‌دهنده‌ی بخش‌های باقیمانده‌ای از شبه چینه نگاشتی به مریخته پوسته‌ی اقیانوسی حاصل شده در پشت‌های میان اقیانوس است و مکمل گوشه‌ای این توالی پریدوتیت‌های کلینوپیروکسن-هارزبورژیتی هستند. حضور واحد سنگ چینه‌ای از نوع افیولیت SSZ شاخص، مثل هارزبورژیت گوشه‌ای تهی‌شد، و مجموعه‌های وسترتیت-پیروکسنتیت-گابرونوریت، نشان دهنده‌ی فرورانش تؤمن با گسترش یک قوس درون اقیانوسی در حوضه‌ی سیستان (به احتمال پس از زمان آلبین) است. با اینکه سنگ‌های آتشفسانی شبه بونینیتی (یعنی سنگ‌های آتشفسانی تهی‌شده از Ti) در مجموعه افیولیتی نهیندان یافت نشد، ولی تقریباً تمام کلینوپیروکسن-هارزبورژیت‌ها دارای غنی‌شدگی LREE مشابه SSZ پریدوتیت‌های گوشه‌ای دگرنهاد شده در اثر شاره‌های بوده و نشان‌دهنده‌ی خاستگاه گوشه‌ای شاخص ماقماتیسم بونینیتی هستند. تؤمن با این هارزبورژیت‌های تهی‌شده همبافت افیولیتی نهیندان شبیه گوشه‌ی دیرگداز پس از خروج ماقماهای با خصلت بونینیتی است. شکل گیری‌های گوشه‌ای مشاهده شده در واقع حاصل بالاً‌مدن و ذوب کاهش فشاری یک گوشه‌ی تهی‌شده دیرگداز MORB است که متأثر از شاره‌های آزادشده از آبزدایی لیتوسفر فرورانده در ناحیه‌ی گوه-گوشه‌ای غنی‌شدگی LREE حاصل کرده است. در پایان کرتاسه حرکت‌های کششی در قوس درون اقیانوسی به نظر می‌رسد که به حرکت‌های فشارشی تغییر ماهیت داده که باعث پایان فعالیت ماقمایی قوسی شده و لیتوسفر اقیانوسی نوع MORB و SSZ در ملاتر-منشور بهم افزوده، مجموعه افیولیتی نهیندان محسوس شده است [۶-۹].

پریدوتیت‌های گوشه‌ای در زون جوش خورده‌ی سیستان در برخی نقاط، میزان توده‌های کرومیتی هستند. در معدن بندان توده‌های کرومیتی عموماً به صورت ساختارهای ورقه‌ای

روش بررسی

نخست از نمونه‌ها مقاطع نازک صیقلی تهیه شدند و بررسی‌های سنگ‌شناسی صورت گرفت. پس از انتخاب برخی نمونه‌ها برای بررسی‌های ژئوشیمیایی، تعیین شیمی عناصر اصلی کانی‌ها به روش EPMA^۳ با استفاده از دستگاه Cameca CAMEBAX در موسسه‌ی ژئوساینس و ژئوریزورس شهر پادوا ایتالیا انجام شده است. در این روش شتاب ولتاژ حدود ۱۵ کیلو الکترون ولت و جریان نمونه حدود ۲۰ میکرو آمپر با زمان ۱۰۰ ثانیه به کار برد شد. برای استاندارد نیز اکسیدها و کانی‌های طبیعی و ترکیبی مورد استفاده قرار گرفتند. دقت آنالیز (۲۵٪) برای عناصر با گستره‌ی تمرکز بین ۱۰ تا ۲۰ درصد وزنی بهتر از ±٪۲، برای عناصر با گستره‌ی تمرکز بین ۲ تا ۱۰ تا ۲۰ درصد وزنی بهتر از ۵٪ و برای عناصر با گستره‌ی تمرکز بین ۰/۵ تا ۲ درصد وزنی بهتر از ۱۰٪ است.

بحث و بررسی

زمین‌شناسی ناحیه‌ای و اختصاصات صحرایی

معدن بندان در حدود ۸۵ کیلومتری نهیندان در مسیر نهیندان-زابل قرار گرفته است (در فاصله ۱۲ کیلومتری غرب روستای بندان)، و موقعیت جغرافیایی آن ۱۸° ۳۱' عرض شمالی و ۴۰° ۶۰' طول شرقی است. از دیدگاه زمین‌شناسی ناحیه‌ای این منطقه در زون جوش خورده‌ی سیستان (زمین‌درز سیستان)^۴ [۶,۱۶] قرار می‌گیرد که تشکیل‌دهنده‌ی نوار کوهستانی بین بلوک‌های قاره‌ای لوت در غرب و افغان در شرق با طول حدود ۸۰۰ کیلومتر در راستای شمال-جنوب و عرض ۲۰۰ کیلومتر است. برونزدهای افیولیتی میزان توده‌های کرومیتی در زمین‌درز سیستان، باقیمانده‌های لیتوسفر اقیانوسی حوضه‌ی سیستان است. این حوضه‌ی اقیانوسی حداقل از کرتاسه تحتانی وجود داشته و سپس تحت تأثیر حرکت‌های نزدیک شونده بین بلوک‌های لوت و افغان قرار گرفت [۷,۱۸]. با اینکه حوضه‌ی سیستان در اؤسن بسته شده است ولی جای گیری افیولیت‌ها پیش از آن و در پایان کرتاسه انجام شده است [۱۶,۶]. بر اساس بررسی انجام شده در سنگ‌های افیولیتی زون جوش خورده‌ی سیستان (مجموعه

3 -Electron microprobe analysis

4 -Sistan suture zone

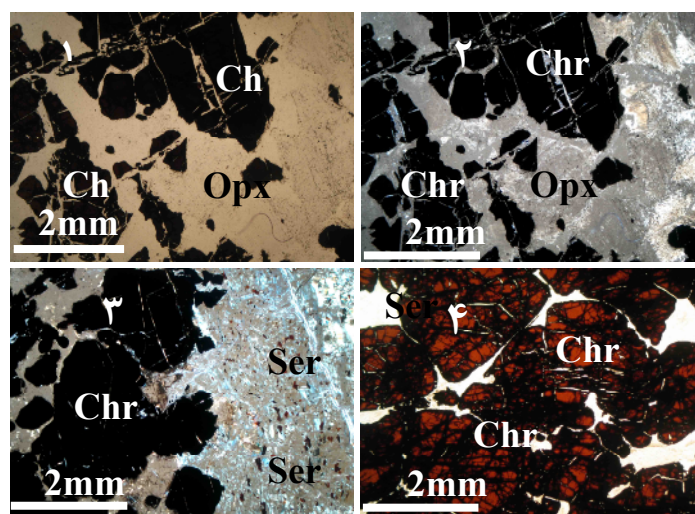
مشابهی با کرومیت‌های انبانه‌ای دارند.

در افیولیت‌ها نهشته‌های کرومیتی با یک قاعده کلی در شکل‌های مختلف غالباً در بالای افق‌های گوشه‌های فوقانی نزدیک مرز گوشه – پوسته و یا به اصطلاح در زون انتقالی موهو جایگیری می‌کنند [مثلاً ۱۱ و ۱۲] گرچه در برخی موارد نیز به صورت دانه‌های پراکنده یا لایه‌ای در کومولاھای قاعده پوسته تجمع انباشته می‌شوند [۱]. در معدن بندان پیش از این ژنز کرومیت‌ها به تشکیل آن‌ها همزمان با کومولاھای اولترامافیک در زیر گابروهای لایه‌ای عنوان شده است [۱۳]. برخلاف این، داده‌های حاصل از این پژوهش نشان می‌دهد که سنگ میزبان کرومیتی شامل طیفی از دونیت-هارزبورزیت گوشه‌ای است که در بررسی‌های سنگ‌شناسی به خوبی قابل مشاهده است (شکل ۲ تصاویر ۱ و ۲ و ۳). از طرف دیگر بررسی کومولاھای اولترامافیک دونیتی که با برخودگاه تکتونیکی با معدن بندان هم‌جوار است، نشان می‌دهد که این سنگ‌ها فاقد هرگونه اثری از کرومیت هستند. در نتیجه این تصور که دانه‌های کرومیتی ممکن است در توالی پوسته‌ای تشکیل شده باشند قابل قبول نیست.

تا عدسی‌شکل با برخوردگاه کم و بیش تیز (شکل ۱ تصویر ۲) یا نامنظم (شکل ۱ تصویر ۳) درون پریدوتیت گوشه‌ای قرار دارند. ضخامت توده‌های ورقه‌ای شکل کرومیتیت تا حدود ۲ متر نیز می‌رسد. این ساختارها ممکن است اولیه باشند و یا به دلیل اختلافات رئولوژیک بین کرومیت و سنگ میزبان سرپانتینیزه کرومیت‌ها در زون‌های گسله انباشته شدند که در این صورت سمت‌گیری ترجیحی نهشته‌ها از روند عمومی گسل‌های هر منطقه پیروی می‌کند [۱۰]. در معدن بندان ارتباط اولیه کرومیتیت- سنگ میزبان در پاره‌ای اوقات به دلیل عملکرد فرایندهای زمین ساختی از جمله گسل‌خوردگی‌های شدید و نیز واکنش‌های متفاوت توده‌های کرومیتی نسبت به سنگ میزبان سرپانتینیزه در مقابل تنش اعمال شده دستخوش تغییراتی شده است. هنگام جایگیری یا بالا آمدن افیولیت و آشفتگی‌های زمین‌ساختی همراه آن، در افیولیت‌ملانژها غالباً نظم ساختاری از حالت سالم اولیه دور می‌شود لذا چنین پدیده‌ای بطور گسترده در توالی چینه‌سنگی افیولیت‌ها دیده می‌شود. ولی در صورتی که دگرشکلی‌های ساختاری تغییرات زیادی اعمال نکرده باشند توده‌های کرومیتی درون یک غشای دونیتی ظاهر می‌شوند که از این لحاظ ویژگی‌های صحرایی



شکل ۱ ویژگی‌های صحرایی توده‌های کرومیتی ورقه‌ای- عدسی‌شکل درون سنگ میزبان پریدوتیت گوشه‌ای را نشان می‌دهند. در تصویر ۲ برخوردگاه تیز و صفحه‌ای کرومیتیت- پریدوتیت واضح است در صورتی که در تصویر ۳ مرز آنها نامنظم و زمین ساختی است.



شکل ۱ و ۲ پراکندگی دانه‌های کرومیت درون سنگ میزبان هارزبورژیتی کاملاً سرپانتینی شده است ولی از روی دگرنهادی باستیتی می‌توان فاز اولیه (ارتوبیروکسن) را تشخیص داد (۱ و ۲ به ترتیب در PPL و XPL). ۳- غشای دونیتی کاملاً سرپانتینیزه دربرگیرنده توده‌ی کرومیتی. ۴- دانه‌های کرومیت ساب‌هدral با آثار گردش‌گی و شکستگی‌های کاتاکلاستیک در مقطع نازک صیقلی. سرپانتین (رنگ روشن) پرکننده فضای بین دانه‌های کرومیت است. PPL: کرومیت؛ Opx: ارتوبیروکسن؛ Ser: سرپانتین.

شکل گرفته‌اند. دونیت‌های میزبان کرومیت‌های انبانه‌ای در افیولیت عمان نیز بافت‌های حاصل از باروری دوباره نشان می‌دهند [۱۵]. در مباحث ژنتیکی این پدیده تقویت‌کننده‌ی تشکیل کرومیت‌ها بر اثر واکنش ماگما-سنگ گوشه‌ای است. برخی توده‌های کرومیتی نیز با پریدوتیت هارزبورژیتی میزبانی شده و برخورده‌گاه تیزی بین آنها و هارزبورژیت وجود ندارد (شکل ۲ تصاویر ۱ و ۲). در کرومیت‌های توده‌ای اندازه‌ی تک‌دانه‌های کرومیت اغلب در حد ۲ تا ۳ میلی‌متر و کوچکتر از آن است و شکل‌های مختلفی همچون نیمه شکلدار و بی‌شکل با آثار گردش‌گی نشان می‌دهند (شکل ۲ تصویر ۴). در اینها کرومیت‌ها کاملاً به صورت متراکم قرار گرفته‌اند و با اختصاص دادن بیش از ۹۰ درصد حجمی سنگ به خود، فضای بین بلوری اندکی برای حضور فازهای سیلیکاتی (سرپانتین) بر جای می‌گذارند. در کرومیت‌های افسان نیز به صورت ریخت‌های نیمه شکلدار و بی‌شکل مورفولوژی‌های ساب‌هدral و آن‌هدral گوشه‌دار دیده می‌شوند که اندازه‌هایی کمتر از ۱ میلی‌متر تا بیش از ۳ میلی‌متر دارند. حجم کرومیت در کرومیت‌های افسان ممکن است به کمتر یا بیش تر از ۵۰ درصد برسد که در فضای بین کانی‌های سیلیکاتی (اغلب الیوین و به مقدار کمتر ارتوبیروکسن باستیتی شده) پراکنده شده‌اند. کرومیت‌های افسان در یک حالت تدریجی ممکن است به

ویژگی‌های بافتی

نهشتلهای کرومیتی تنوعی از شکلهای بافتی، بیشتر توده‌ای تا افسان نشان می‌دهند. دانه‌های کرومیت در پاره‌ای اوقات نیز تحت فشارهای زمین ساختی خرد شده و بافت برشی با شکستگی‌های کاتاکلاستیک دارند. از جبهه ویژگی‌های میکروسکوپی، کرومیت‌های توده‌ای در بستر کم‌حجمی از سرپانتینیت قرار گرفته‌اند (شکل ۲ تصویر ۴). با اینکه گاهی سرپانتینی شدن کاملاً آثار بافتی فاز قبلی را از بین برده است ولی به نظر می‌رسد این خمیره عموماً دونیتی باشد. علاوه بر این دونیت به صورت یک غشای دربرگیرنده توده کرومیتی در مقیاس میکروسکوپی نیز دیده می‌شود (شکل ۲ تصویر ۳). این غشاهای دونیتی در کرومیت‌های افیولیتی عموماً با فاصله گرفتن از توده‌ی کرومیتی به هارزبورژیت و کلینوبیروکسن-هارزبورژیت/لرزولیت تبدیل می‌شوند [مثالاً ۱۴]. دونیت‌های حاشیه‌ی توده‌های کرومیتی گاهی با حجم بالایی از پلازیوکلاز دگرسان (۲۰ تا ۳۰ درصد) و کلینوبیروکسن سالم تا نسبتاً دگرسان (حدود ۳ درصد) منظره‌ی تروکتولیتی بخود گرفته‌اند. ویژگی‌های بافتی این سنگ‌ها شباهت زیادی به دونیت‌های بارور شده^۶ دارند، یعنی فازهای پلازیوکلاز و کلینوبیروکسن پس از تشکیل دونیت‌ها دستخوش تقابل با یک مagma مافیک

6- Impregnated dunite

انبانه‌ای نوع Al-بالا قرار می‌دهد. بر همین اساس $\text{Cr\#} = \frac{\text{Cr}}{\text{Cr} + \text{Al}} \times 100$ (Cr + Al) میزان بالایی نداشته و حداکثر به $\text{MgO} = 51.85$ می‌رسد ($49.89 - 51.85$). مقدار FeO و TiO_2 تغییرات اندکی دارند و درصد وزنی آنها به ترتیب 13.59 تا 15.03 و 13.41 تا 14.86 هستند و $\text{Mg\#} = \frac{\text{Mg}}{\text{Mg} + \text{Fe}^{2+}} \times 100$ بین 61.5 تا 66.07 است. در نمودار Cr\# روی Mg\# نیز کرومیت‌ها در گستره‌ی کرومیت‌های انبانه‌ای قرار گرفته (شکل ۱-۳) و به نسبت تغییرات ترکیبی که کرومیت‌های انبانه‌ای نشان می‌دهند (تغییرات Cr\# از حدود 20 تا 80) ترکیب میانه‌ای دارند. همچنین نسبت Cr/Fe بالاتر از 2 است ($2.41 - 2.67$). لذا با توجه به شاخص‌هایی که در کاربرد کرومیت‌ها مورد نظر است بدليل Cr_2O_3 پایین برای صنایع متالورژی [فلزگری] مناسب نبوده و بخارتر نسبت Cr/Fe بالا مورد استفاده در صنایع شیمیایی نیست، و به همین دلیل برای صنایع نسوز قابل کاربردن.

کرومیت‌های توده‌ای تغییر یابند. کرومیت‌های نودولار با دانه‌های کرومیتی کروی یا بیضوی و بافت‌های نواری کمتر دیده می‌شوند.

ویژگی‌های شیمیایی

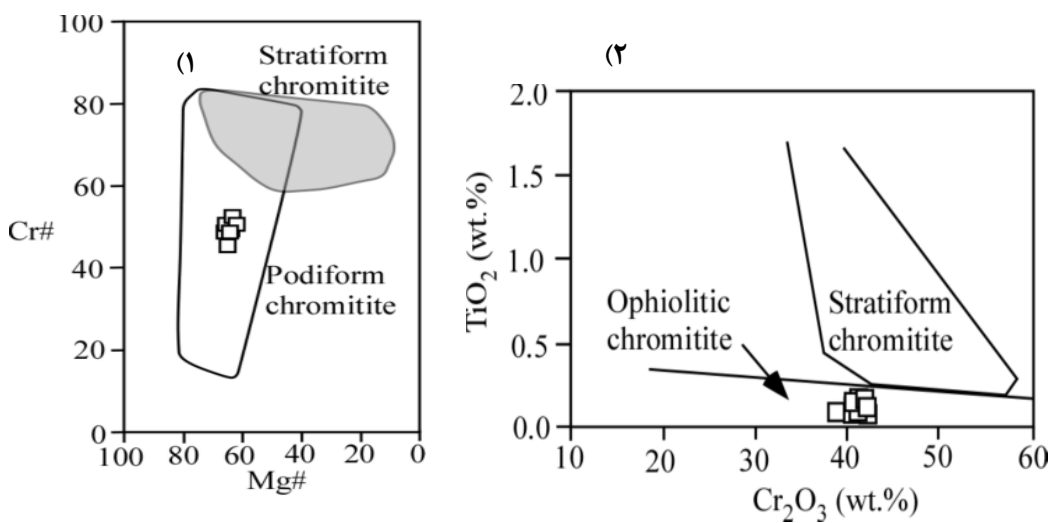
ترکیب شیمیایی کرومیت‌ها در جدول ۱ ارائه گردیده است. تغییرات شیمیایی به طور کلی گستره‌ی اندکی دارند. مقدار TiO_2 در گستره‌ی کرومیت‌های افیولیتی است و از 0.2 درصد وزنی تجاوز نمی‌کند ($0.07 - 0.17$ wt.%) (شکل ۲-۳). علاوه بر این در مقایسه با کروم-اسپینل‌های برجای‌مانده درون پریدوتیت‌های گوشتیهای ($\text{TiO}_2 = 0.01 - 0.07$ wt.%)، در توده‌های کرومیتی TiO_2 بالاتر بوده و دارای گستره تغییرات متفاوتی است. این فاکتور به سادگی خاستگاه برجای‌مانده را نفی می‌کند، و در نتیجه نشان دهندهی خاستگاه ماقمایی کرومیت‌ها است. تغییرات Al_2O_3 و Cr_2O_3 به ترتیب بین 25.9 تا 30.81 و 39.04 تا 43.32 درصد وزنی هستند. بالا بودن مقدار Al_2O_3 این نهشته‌ها را در گستره‌ی کرومیت‌های

جدول ۱ داده‌های آنالیز ریز پردازش کرومیت. a.p.f.u. بر اساس ۳ کاتیون و ۴ آنیون. محاسبه Fe_2O_3 به روش [۱۷].

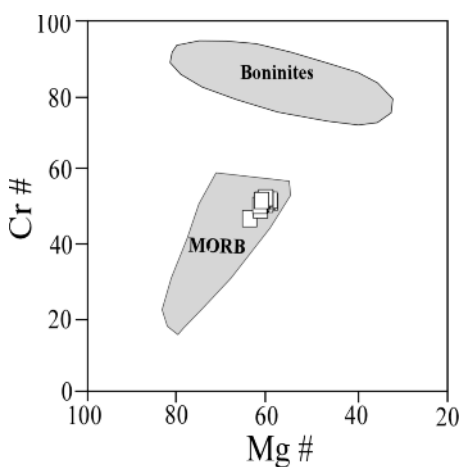
Sam.	40-40-1							40-40-2																
	Loc.	6۰°۴۰'۳۸.۵۷"	E ۳۱°۱۸'۰.۶۳۳"	N	6۰°۴۰'۳۶.۵۸"	E ۳۱°۱۸'۰.۶۷۳"	N	1sp1	1sp2	1sp3	1sp4	1sp5	1sp6	1sp7	1sp8	1sp9	1sp10	2sp4	2sp5	2sp6	2sp7	2sp8	2sp9	
Min.																								
SiO_2		۰.۱۰	۰.۰۴	۰.۰۴	۰.۰۹	۰.۰۵	۰.۰۹	۰.۰۹	۰.۱۵	۰.۱۳	۰.۰۹	۰.۰۷	۰.۰۵	۰.۰۷	۰.۰۵	۰.۰۶	۰.۰۵	۰.۰۷	۰.۰۵	۰.۰۷	۰.۰۵	۰.۰۵	۰.۰۵	
TiO_2		۰.۰۸	۰.۰۶	۰.۱۰	۰.۱۷	۰.۰۸	۰.۱۳	۰.۱۲	۰.۱۷	۰.۱۷	۰.۱۲	۰.۱۴	۰.۰۷	۰.۱۳	۰.۱۱	۰.۱۲	۰.۱۴	۰.۰۷	۰.۰۷	۰.۰۷	۰.۰۷	۰.۰۷	۰.۰۷	
Al_2O_3		۲۷.۳۱	۲۷.۴۷	۲۷.۵۴	۲۷.۶۶	۲۷.۴۰	۲۶.۸۵	۲۷.۴۸	۲۷.۱۳	۲۷.۱۰	۲۷.۶۲	۲۶.۹۱	۲۷.۱۰	۲۶.۹۶	۲۶.۸۴	۲۶.۷۴	۲۶.۸۴	۲۶.۹۱	۲۶.۹۶	۲۶.۹۶	۲۶.۹۶	۲۶.۹۶	۲۶.۹۶	
Cr_2O_3		۴۲.۰۴	۴۱.۳۰	۴۰.۹۹	۴۲.۴۸	۴۱.۲۶	۴۱.۲۷	۴۱.۸۴	۴۲.۲۸	۴۱.۰۲	۴۳.۳۲	۴۲.۴۴	۴۲.۳۶	۴۲.۴۷	۴۲.۰۸	۴۱.۸۴	۴۱.۸۱	۴۱.۸۱	۴۱.۸۱	۴۱.۸۱	۴۱.۸۱	۴۱.۸۱	۴۱.۸۱	
Fe_2O_3		۱.۸۱	۲.۱۴	۱.۹۷	۰.۸۱	۱.۵۵	۲.۴۶	۱.۳۹	۱.۷۷	۱.۸۹	۱.۰۵	۱.۶۷	۰.۸۷	۰.۵۴	۱.۵۸	۱.۶۰	۲.۲۸	۱.۶۰	۱.۶۰	۱.۶۰	۱.۶۰	۱.۶۰	۱.۶۰	
FeO		۱۴.۱۲	۱۳.۹۸	۱۴.۳۳	۱۵.۰۳	۱۴.۱۹	۱۳.۶۶	۱۴.۷۰	۱۴.۱۴	۱۳.۶۵	۱۴.۴۷	۱۴.۵۶	۱۴.۶۶	۱۵.۱۳	۱۴.۵۵	۱۴.۵۰	۱۴.۱۵	۱۴.۱۵	۱۴.۱۵	۱۴.۱۵	۱۴.۱۵	۱۴.۱۵	۱۴.۱۵	
MnO		۰.۱۶	۰.۲۶	۰.۲۲	۰.۲۹	۰.۱۶	۰.۲۷	۰.۳۲	۰.۲۹	۰.۲۹	۰.۳۵	۰.۲۰	۰.۲۴	۰.۲۳	۰.۱۶	۰.۲۶	۰.۲۶	۰.۲۶	۰.۲۶	۰.۲۶	۰.۲۶	۰.۲۶	۰.۲۶	
MgO		۱۴.۴۹	۱۴.۴۰	۱۴.۱۲	۱۴.۰۰	۱۴.۱۷	۱۴.۵۴	۱۴.۰۵	۱۴.۵۴	۱۴.۵۹	۱۴.۴۹	۱۴.۵۵	۱۴.۱۲	۱۳.۸۵	۱۳.۵۴	۱۴.۳۲	۱۳.۹۸	۱۴.۲۹	۱۴.۲۹	۱۴.۲۹	۱۴.۲۹	۱۴.۲۹	۱۴.۲۹	
CaO		۰.۰۱	۰.۰۰	۰.۰۵	۰.۰۲	۰.۰۰	۰.۰۰	۰.۰۰	۰.۰۲	۰.۰۰	۰.۰۰	۰.۰۱	۰.۰۳	۰.۰۲	۰.۰۰	۰.۰۱	۰.۰۱	۰.۰۲	۰.۰۰	۰.۰۱	۰.۰۱	۰.۰۱	۰.۰۱	
NiO		۰.۲۰	۰.۱۲	۰.۱۶	۰.۱۸	۰.۱۴	۰.۱۳	۰.۲۱	۰.۱۹	۰.۱۱	۰.۲۳	۰.۱۴	۰.۱۷	۰.۰۵	۰.۰۰	۰.۱۸	۰.۱۸	۰.۱۸	۰.۱۸	۰.۱۸	۰.۱۸	۰.۱۸	۰.۱۸	
Total		۱۰۰.۳۳	۹۹.۷۶	۹۹.۵۳	۱۰۰.۷۱	۹۹.۰۵	۹۹.۴۱	۱۰۰.۱۳	۱۰۰.۷۰	۹۸.۹۳	۱۰۱.۶۷	۱۰۰.۳۲	۹۹.۷۷	۹۹.۲۶	۱۰۰.۷۳	۹۹.۰۸	۱۰۰.۰۰	۹۹.۰۰	۹۹.۰۰	۹۹.۰۰	۹۹.۰۰	۹۹.۰۰	۹۹.۰۰	
Si		۰.۰۰۳	۰.۰۰۱	۰.۰۰۱	۰.۰۰۳	۰.۰۰۲	۰.۰۰۳	۰.۰۰۳	۰.۰۰۵	۰.۰۰۴	۰.۰۰۳	۰.۰۰۲	۰.۰۰۲	۰.۰۰۲	۰.۰۰۱	۰.۰۰۲	۰.۰۰۱	۰.۰۰۲	۰.۰۰۲	۰.۰۰۲	۰.۰۰۲	۰.۰۰۲	۰.۰۰۲	
Ti		۰.۰۰۲	۰.۰۰۱	۰.۰۰۲	۰.۰۰۴	۰.۰۰۲	۰.۰۰۳	۰.۰۰۳	۰.۰۰۴	۰.۰۰۴	۰.۰۰۳	۰.۰۰۳	۰.۰۰۲	۰.۰۰۳	۰.۰۰۲	۰.۰۰۳	۰.۰۰۳	۰.۰۰۳	۰.۰۰۳	۰.۰۰۳	۰.۰۰۳	۰.۰۰۳	۰.۰۰۳	
Al		۰.۹۶	۰.۹۷۵	۰.۹۸۰	۰.۹۷۲	۰.۹۷۸	۰.۹۵۸	۰.۹۷۲	۰.۹۵۵	۰.۹۶۹	۰.۹۶۱	۰.۹۵۳	۰.۹۶۶	۰.۹۶۳	۰.۹۴۷	۰.۹۵۸	۰.۹۵۴	۰.۹۵۴	۰.۹۵۴	۰.۹۵۴	۰.۹۵۴	۰.۹۵۴	۰.۹۵۴	
Cr		۰.۹۹۵	۰.۹۸۴	۰.۹۷۹	۱.۰۰۱	۰.۹۸۸	۰.۹۸۸	۰.۹۹۳	۰.۹۹۸	۰.۹۸۳	۱.۰۱۱	۱.۰۰۸	۱.۰۱۳	۱.۰۱۸	۱.۰۱۹	۱.۰۰۶	۰.۹۹۷	۰.۹۹۷	۰.۹۹۷	۰.۹۹۷	۰.۹۹۷	۰.۹۹۷	۰.۹۹۷	
Fe^{3+}		۰.۰۴۱	۰.۰۴۸	۰.۰۴۵	۰.۰۱۸	۰.۰۳۵	۰.۰۵۶	۰.۰۳۱	۰.۰۴۰	۰.۰۴۳	۰.۰۲۳	۰.۰۳۸	۰.۰۲۰	۰.۰۱۲	۰.۰۳۵	۰.۰۳۶	۰.۰۵۱	۰.۰۵۱	۰.۰۵۱	۰.۰۵۱	۰.۰۵۱	۰.۰۵۱	۰.۰۵۱	
Fe^{2+}		۰.۳۵۲	۰.۳۵۰	۰.۳۶۰	۰.۳۷۴	۰.۳۵۸	۰.۳۴۴	۰.۳۶۸	۰.۳۵۱	۰.۳۴۴	۰.۳۵۶	۰.۳۶۴	۰.۳۷۰	۰.۳۸۳	۰.۳۶۳	۰.۳۵۵	۰.۳۵۵	۰.۳۵۵	۰.۳۵۵	۰.۳۵۵	۰.۳۵۵	۰.۳۵۵	۰.۳۵۵	
Mn		۰.۰۰۴	۰.۰۰۷	۰.۰۰۶	۰.۰۰۷	۰.۰۰۴	۰.۰۰۷	۰.۰۰۸	۰.۰۰۷	۰.۰۰۷	۰.۰۰۹	۰.۰۰۵	۰.۰۰۶	۰.۰۰۶	۰.۰۰۴	۰.۰۰۷	۰.۰۰۷	۰.۰۰۷	۰.۰۰۷	۰.۰۰۷	۰.۰۰۷	۰.۰۰۷	۰.۰۰۷	
Mg		۰.۶۴۷	۰.۶۴۷	۰.۶۳۶	۰.۶۲۲	۰.۶۴۰	۰.۶۵۶	۰.۶۲۹	۰.۶۴۸	۰.۶۵۵	۰.۶۴۰	۰.۶۳۳	۰.۶۲۴	۰.۶۱۲	۰.۶۳۹	۰.۶۳۴	۰.۶۴۳	۰.۶۴۳	۰.۶۴۳	۰.۶۴۳	۰.۶۴۳	۰.۶۴۳	۰.۶۴۳	
Ca		۰.۰۰۰	۰.۰۰۰	۰.۰۰۲	۰.۰۰۱	۰.۰۰۰	۰.۰۰۰	۰.۰۰۰	۰.۰۰۱	۰.۰۰۰	۰.۰۰۰	۰.۰۰۰	۰.۰۰۱	۰.۰۰۰	۰.۰۰۰	۰.۰۰۰	۰.۰۰۰	۰.۰۰۰	۰.۰۰۰	۰.۰۰۰	۰.۰۰۰	۰.۰۰۰	۰.۰۰۰	
Ni		۰.۰۰۵	۰.۰۰۳	۰.۰۰۴	۰.۰۰۴	۰.۰۰۴	۰.۰۰۳	۰.۰۰۳	۰.۰۰۵	۰.۰۰۵	۰.۰۰۳	۰.۰۰۶	۰.۰۰۳	۰.۰۰۴	۰.۰۰۱	۰.۰۰۰	۰.۰۰۰	۰.۰۰۰	۰.۰۰۰	۰.۰۰۰	۰.۰۰۰	۰.۰۰۰	۰.۰۰۰	
Total		۳۰.۱۳	۳۰.۱۶	۳۰.۱۵	۳۰.۰۶	۳۰.۱۲	۳۰.۱۸	۳۰.۱۰	۳۰.۱۳	۳۰.۱۴	۳۰.۰۸	۳۰.۱۲	۳۰.۰۶	۳۰.۰۴	۳۰.۱۲	۳۰.۱۲	۳۰.۱۷	۳۰.۱۷	۳۰.۱۷	۳۰.۱۷	۳۰.۱۷	۳۰.۱۷		
Cr\#		۵۰.۸۰	۵۰.۲۱	۴۹.۹۶	۵۰.۷۵	۵۰.۲۵	۵۰.۷۷	۵۰.۵۳	۵۱.۱۱	۵۰.۳۸	۵۱.۲۷	۵۱.۴۰	۵۱.۱۹	۵۱.۳۸	۵۱.۸۵	۵۱.۲۱	۵۱.۱۰	۵۱.۱۰	۵۱.۱۰	۵۱.۱۰	۵۱.۱۰	۵۱.۱۰	۵۱.۱۰	
Mg\#		۶۴.۷۷	۶۴.۸۶	۶۴.۸۵	۶۴.۴۶	۶۴.۱۳	۶۴.۶۴	۶۴.۱۰	۶۴.۸۲	۶۴.۵۴	۶۴.۲۷	۶۴.۴۷	۶۴.۷۹	۶۴.۱۰	۶۴.۳۲	۶۴.۴۳	۶۴.۴۳	۶۴.۴۳	۶۴.۴۳	۶۴.۴۳	۶۴.۴۳	۶۴.۴۳	۶۴.۴۳	

ادامه جدول ۱

Sam.	4-41																	
Loc.	$60^{\circ}40'37.85'' E 31^{\circ}18'07.78'' N$																	
Min.	2sp10	3sp2	3sp3	3sp5	3sp6	3sp7	3sp8	3sp9	3sp10	3sp11	3sp12	3sp13	3sp15	3sp16	3sp17	3sp18		
SiO ₂	0.09	0.06	0.12	0.09	0.11	0.04	0.17	0.06	0.06	0.13	0.21	0.05	0.08	0.05	0.05	0.07		
TiO ₂	0.13	0.08	0.11	0.07	0.08	0.12	0.12	0.07	0.07	0.12	0.10	0.13	0.10	0.11	0.15			
Al ₂ O ₃	26.82	26.74	26.80	27.48	27.42	26.92	26.46	26.84	27.11	30.81	25.92	27.52	26.95	26.96	27.07	26.93		
Cr ₂ O ₃	41.97	41.18	41.05	42.02	41.93	42.39	40.81	41.01	42.07	39.04	41.75	40.85	41.72	41.56	42.25	42.16		
Fe ₂ O ₃	2.34	0.99	1.85	1.58	1.75	1.99	2.45	1.95	1.67	0.53	1.75	1.50	2.26	2.34	1.39	1.46		
FeO	13.59	14.77	14.61	14.77	14.17	14.52	13.89	14.23	14.95	14.05	14.54	14.09	13.93	13.91	14.88	14.71		
MnO	0.21	0.20	0.24	0.24	0.20	0.24	0.23	0.25	0.34	0.14	0.18	0.29	0.29	0.22	0.18	0.22		
MgO	14.75	13.41	13.95	14.07	14.46	14.18	14.15	14.02	13.82	14.86	13.77	13.79	14.44	14.45	13.92	13.95		
CaO	0.00	0.00	0.00	0.02	0.00	0.00	0.03	0.00	0.00	0.00	0.03	0.00	0.00	0.00	0.00	0.00		
NiO	0.16	0.14	0.12	0.17	0.18	0.17	0.28	0.07	0.11	0.14	0.21	0.20	0.19	0.11	0.07	0.21		
Total	100.05	97.57	99.35	100.51	100.30	100.56	98.60	98.55	100.20	99.78	98.47	98.89	99.99	99.89	99.93	99.86		
Si	0.003	0.002	0.004	0.003	0.003	0.001	0.005	0.002	0.002	0.004	0.006	0.001	0.002	0.002	0.001	0.002		
Ti	0.003	0.002	0.003	0.002	0.002	0.003	0.003	0.003	0.002	0.002	0.003	0.002	0.003	0.002	0.003	0.004		
Al	0.951	0.972	0.959	0.970	0.968	0.952	0.954	0.966	0.962	1.071	0.938	0.986	0.957	0.960	0.962	0.958		
Cr	0.998	1.004	0.997	0.995	0.993	1.006	0.988	0.991	1.002	0.910	1.013	0.981	0.994	0.993	1.007	1.006		
Fe ³⁺	0.053	0.023	0.042	0.035	0.039	0.045	0.056	0.045	0.038	0.12	0.040	0.034	0.051	0.053	0.031	0.033		
Fe ²⁺	0.340	0.380	0.369	0.368	0.353	0.363	0.353	0.362	0.375	0.346	0.371	0.369	0.349	0.349	0.374	0.370		
Mn	0.005	0.005	0.006	0.005	0.006	0.006	0.006	0.006	0.009	0.004	0.005	0.007	0.006	0.005	0.006			
Mg	0.881	0.817	0.831	0.828	0.845	0.835	0.845	0.838	0.821	0.853	0.830	0.825	0.849	0.851	0.828			
Ca	0.000	0.000	0.000	0.001	0.000	0.000	0.001	0.000	0.000	0.001	0.000	0.000	0.001	0.000	0.000			
Ni	0.004	0.004	0.003	0.004	0.004	0.007	0.002	0.003	0.003	0.005	0.005	0.005	0.003	0.002	0.005			
Total	2.017	2.007	2.014	2.012	2.013	2.015	2.018	2.015	2.012	2.004	2.013	2.011	2.017	2.017	2.010	2.011		
Cr#	51.21	50.82	50.99	50.63	50.64	51.37	50.85	50.62	51.01	45.95	51.93	49.89	50.95	50.84	51.15	51.23		
Mg#	66.07	61.87	63.11	63.04	64.64	63.64	64.64	63.85	62.35	65.28	62.93	62.86	65.02	65.07	62.82	62.93		



شکل ۳-۱- نمودار Cr# روی Mg# در کرومیتیت‌ها. ۲- نمودار Cr₂O₃ روی TiO₂. نمودارها [۱۶] اقتباس شده‌اند.



شکل ۴ نمودار Cr# نسبت به Mg# برای کرومیت‌ها. گستره‌های Boninite و MORB از [۲۸].

حضور دونیت در گوشه ممکن است با خاستگاه برجای‌مانده^۷ (ذوب بخشی) یا بر هم کنش مagma-سنگ^۸ تفسیر شود. فرض اول کمتر محتمل است چراکه ذوب بخشی تا درجه‌ای که بتواند سنگ دونیتی را نتیجه دهد باید بسیار گسترده باشد و این در شرایط عادی لیتوسفر اقیانوسی ناممکن است. به همین خاطر حضور دونیت‌ها با فرایند واکنش magma- سنگ تفسیر می‌شود [مثالاً ۲۶]. در گوشه‌ی لیتوسفری گداخت ناجور ارتوپیروکسن و انحلال^۹ کلینوپیروکسن از یکسو و تبلور و تهنشست الیوین از magma- صعود کننده به دلیل گسترش حجم الیوین لیکیدوس در اثر کاهش فشار [۲۷] از سوی دیگر فرایندهایی هستند که باعث تشکیل دونیت در اطراف کرومیت-های انبانه‌ای می‌شوند. واکنش magma- سنگ در حالی که magma- ریشه گرفته از اعمق بیشتر با پریدوتیت بخش‌های کم عمق گوشه‌ی (ترازه‌های فوقانی گوشه‌ی لیتوسفری) عدم تعادل شیمیایی زیادی داشته باشند، افزایش می‌باید، که در اینصورت همراه با تغییرات کانی‌شناسی در سنگ میزبان، فعالیت سیلیس در magma- افزایش یافته و ترکیب آن به سمت magma- بونینیتی تغییر می‌باید. اضافه شدن یک magma- با شیمی اولیه‌تر، به magma- ی شکل گرفته فوق از طریق فرایند در آمیختن^{۱۰} [مثالاً ۱۹] و یا نزدیکی با magma^{۱۱} [۲۵]، تبلور کرومیت را نتیجه می‌دهد.

با اینکه جایگاه‌های SSZ مکان مناسب برای رایش magma-های بونینیتی است ولی در مورد موقعیت دیرین زمین

ژنز کرومیت‌های انبانه‌ای و شواهد پالئوتکتونیک

تصور بر این است که کرومیت‌ها از magma-های بخشی ریشه گرفته از گوشه، متبلور شده باشند [مثالاً ۱۸]. ترکیب magma- مادر یکی از مهمترین فاکتورهای کنترل‌کننده شیمی کرومیت است. علاوه شرایط فیزیکی همچون فشار، دما و فوگاسیته اکسیژن ممکن است روی شیمی کرومیت تأثیر داشته باشند [۲۲-۱۹]. در معدن بندان، بر اساس ترکیب شیمیایی کرومیت، ماهیت magma- مادر مورد بررسی قرار گرفته است. در این زمینه از روابط زیر استفاده شد. [۲۳]:

$$(1) (\text{Al}_2\text{O}_3)^{2.42}_{\text{melt}} \text{ (wt. \%)} = \text{Al}_2\text{O}_3_{\text{spinel}} \text{ (wt. \%)} / 0.035$$

$$(2) \ln (\text{FeO}/\text{MgO})_{\text{melt}} = \ln (\text{FeO}/\text{MgO})_{\text{spinel}} - 0.47 + 1.07 \times Y^{\text{Al}}_{\text{spinel}} - 0.64 \times Y^{\text{Fe}^{3+}}_{\text{spinel}}$$

$$Y^{\text{Al}}_{\text{spinel}} = \text{Al} / (\text{Al} + \text{Cr} + \text{Fe}^{3+})$$

$$Y^{\text{Fe}^{3+}}_{\text{spinel}} = \text{Fe}^{3+} / (\text{Fe}^{3+} + \text{Al} + \text{Cr})$$

با استفاده از رابطه‌ی (۱) از روی مقدار Al_2O_3 ، مقدار آن در magma- مادر به دست می‌آید و در رابطه‌ی (۲) نیز نسبت FeO/MgO magma- مادر از روی این نسبت در کرومیت حاصل FeO/MgO می‌شود. بر این اساس میزان Al_2O_3 و نسبت FeO/MgO magma- مادر، کرومیت به ترتیب حدود ۱۵ تا ۱۶ درصد وزنی و ۱/۲ تا ۱/۱ است. میزان نسبتاً بالای Al_2O_3 و نسبت FeO/MgO بیش از یک (در تضاد با magma-های غنی از MORB) در توافق با یک magma- مادر با ترکیب شیمیایی نوع MORB است. علاوه بر این $\text{Cr}^{\#}$ کرومیت‌ها نیز تأیید کننده‌ی این ادعای است. اگر قائل به شیمی magma- مادر کرومیت‌ها در دو سری با خصلت MORB (تولئی‌ایتی) و بونینیتی باشیم، $\text{Cr}^{\#}$ -Sazgari دارد، و در نمودار $\text{Cr}^{\#}$ -Mg# (شکل ۴) نیز پایین کرومیت‌ها آن‌ها را در گستره‌ی MORB قرار می‌دهد. مشابه آنچه گفته شد به نظر برخی پژوهشگران [۲۴] کرومیت-Al-بالا در تضاد با کرومیت‌های Cr-بالا، که از magma-های با خصلت بونینیتی تبلور می‌یابند از magma-های تولئی‌ایتی ریشه می‌گیرند. واکنش magma- سنگ یا magma- مادر، فرایندهایی هستند که برای توضیح ژنز کرومیت‌های انبانه‌ای معرفی شده‌اند [مثالاً ۱۲ و ۲۵]. چنانکه پیش از این گفته شد دونیت یک سنگ معمول در حاشیه‌ی توده‌های کرومیتی معدن بندان است.

7- Residual

8 -Melt-rock interaction

9 -Dissolution

10- Magma mixing

11 - Magma mingling

میان اقیانوسی دارای Cr^{+6} پایینی هستند و کرومیت‌های با Cr^{+3} بالا (بیش از ۷۰٪) محدود به کرومیت‌های افیولیتی وابسته به قوس در موقعیت‌های SSZ هستند [۱۲،۳۶]. در مجموعه افیولیتی نهبندان شواهد سنگ‌شناسی و ژئوشیمیای در توالی SSZ-گوشه-پوسته دلیل بر شکل‌گیری افیولیت در جایگاه وجود دارد [۹-۷]. بنابراین با اینکه کرومیت‌های Al-بالا خود ممکن است گواه مناسبی از جایگاه SSZ نباشند، ولی چنین شواهدی در دیگر اعضای فرامافیکی-mafیک افیولیتی می‌تواند ارتباط فرایند کرومیت‌زاوی به محیط‌های وابسته به زون‌های فرورانشی را تقویت کند.

برداشت

نهشته‌های کرومیتی معدن بندان اغلب به صورت ساختارهای ورقه‌ای و یا عدسی‌شکل تظاهر دارند. این نهشته‌ها با پریدوتیت‌های گوشه‌ای سرپانتینیزه میزانی می‌شوند. پریدوتیت‌های میزان شامل دونیت و گاهی هارزبورژیت است و به این دلیل این کرومیت‌ها مشابه با کرومیت‌های نوع آپی (آنبانه‌ای یا افیولیتی) هستند. ویژگی‌های شیمیابی نهشته‌های کرومیتی (با $\text{Cr} \#$ پایین) آن‌ها را در گروه کرومیت‌های Al-بالا قرار می‌دهد. ترکیب شیمیابی محاسباتی ماقمای مادر آنها نیز شبیه مذاب‌های نوع MORB است. با توجه به اینکه بیشتر بررسی‌های که تاکنون روی ژنز کرومیت‌ها صورت گرفته اشاره به فرایندهایی دارد که به نوعی با جایگاه‌های SSZ وابسته است لذا غالب سمتگیری‌ها موقعیت پالتوکتونیک کرومیت‌ها مخالف با جایگاه پشتی میان اقیانوسی هستند. از طرفی گرچه کرومیت‌های معدن بندان از نظر ژئوشیمیابی در رابطه با جایگاه زمین‌ساختی چندان شاخص نیستند ولی شواهد سنگ شناسی- ژئوشیمیابی در توالی گوشه- پوسته مجموعه افیولیتی نهبندان می‌تواند ارتباط فرایند کرومیت‌زایی به جایگاه SSZ را تقویت کند.

مراجع

- [1] Nicolas A., "Structure of Ophiolites and Dynamics of Oceanic Lithosphere.", Kluwer, Dordrecht, (1989) 367 pp.
 - [2] Irvine T. N., "Origin of chromitite layers in the Muskox intrusion and other stratiform intrusions: A new interpretation.", Geology, 5 (1977) 273–7.
 - [3] Yaghoubpur A., "Mineral Deposits of Iran: A Brief Review. Mineral Resources and Development", Daya Publishing House, Delhi-110 035 (2005) 191-202.

شناختی کرومیت‌های انبانهای هنوز تردیدهای زیادی وجود دارد. از زمانی که موضوع شکل‌گیری برخی افیولیت‌ها در جایگاه‌های SSZ مطرح شد، حضور نهشته‌های کرومیتی انبانهای در توالی گوشه‌ای به عنوان یک سرستی برای افیولیت‌های SSZ عنوان شد. این شاخصه اگرچه کاملاً متمایز کننده نیست ولی در یک قاعده‌ی کلی تمامی نهشته‌های کرومیتی انبانهای اصلی در افیولیت‌های SSZ یافت شده‌اند [۲۹]. در افیولیت عمان بر اساس بیهنجاری Nb در انکلوژیون‌های کانیایی درون کرومیت‌ها، یک جایگاه زمین‌ساختی پشت قوس برای افیولیت عمان مطرح شد [۳۰]. برخی نیز بر اساس اختلاف در شیمی کانی، جایگاه‌های جداگانه‌ای را مطرح کرده‌اند بدین صورت که برای کرومیت‌های انبانهای Cr-بالا آنچه گفته شد با این استدلال که فرایند واکنش ماگما-سنگ می‌تواند سبب تغییر ترکیب ماگمای مادر از تولئی‌ایتی به بونینیتی شود مدل دیگری ارائه شده است که در آن هم کرومیت‌های Cr-بالا و هم کرومیت‌های Al-بالا می‌توانند در یک جایگاه زمین‌ساختی مشترک شکل گیرند [۳۲]. حضور کانی‌های آبدار همچون پاراگازیت و فلوگوپیت بصورت انکلوژیون درون کرومیت‌ها [متلاً ۳۳] موضوع دیگری است که برخی پژوهشگران آن را به عنوان شاهدی برای جایگاه SSZ کرومیت‌های انبانهای در نظر گرفته و نقش آب را برای تشکیل کرومیت‌های افیولیتی حیاتی می‌دانند [۳۴]. در این راستا کرومیت‌های انبانهای به احتمال بیشتر مختص جایگاه‌های SSZ هستند، زیرا در این موقعیت‌ها حجم بالای آبغون درون ماگما امکان آزاد سازی یک فاز آبغون غنی از آب را فراهم می‌سازد [۳۵]. با این حال در EPR, Leg 147 of Hess Deep (ODP) یک توده‌ی کرومیتی کوچک یافت شده است که از نظر سنگ‌شناسی شبیه کرومیت‌های انبانهای افیولیتی یا نوع آلپی است و این یافته نشان می‌دهد که کرومیت‌های انبانهای ممکن است در پشت‌های میان اقیانوس نیز شکل گیرند [۳۶]. با مرور بررسی‌هایی که تاکنون در مورد جایگاه دیرین زمین ساختی کرومیت‌های انبانهای انجام شده، ملاحظه می‌شود که ابهام‌های زیادی در این باره وجود دارد ولی علیرغم این باید اذعان کرد که کرومیت‌های واپسیه به موقعیت‌های پشت‌های

- [16] Proenza J.A., Zaccarini F., Escayola M., Cábana C., Schalamuk A., Garuti G., "Composition and textures of chromite and platinum-group minerals in chromitites of the western ophiolitic belt from Pampean Ranges of Córdoba", *Ore Geology Reviews*, 33 (2008) 32-48.
- [17] Droop G. T. R., "A general equation for estimating Fe^{3+} concentrations in ferromagnesian silicates and oxides from microprobe analyses", using stoichiometric criteria, *Min.Mag.* 51 (1987) 431-435.
- [18] Coleman R. G., *Ophiolites*: New York, Springer-Verlag, (1977) 229 p.
- [19] Irvine T. N., "Chromium spinels as a petrogenetic indicator.", I, Theory. *Canadian Journal of Earth Sciences* 2 (1965) 648-672.
- [20] Jaques A.L., Green D.H., "Anhydrous melting of peridotite at 0-15 kbar and the genesis of tholeiitic basalts.", *Contrib. Mineral. Petrol.* 73 (1980) 287-310.
- [21] Dick H. J. B., Bullen T., "Chromian spinel as a petrogenetic indicator in abyssal and alpine-type peridotites and spatially associated lavas." *Contrib. Mineral. Petrol.* 86 (1984) 54-76.
- [22] Roberts S., Neary C.R., "Petrogenesis of ophiolitic chromitite. In: Prichard", H.M., Alabaster, T., Harris, N.B.W., Neary, C.R. (Eds.), *Magmatic Processes and Plate Tectonics. Spec. Publ.-Geol. Soc. London.* 76 (1993) 257– 272.
- [23] Maurel C., Maurel P., "Etude expérimentale de la distribution de L'aluminium entre bain silicaté basique et spinelle chromifère.", Implications pétrogénétiques: teneur en chrome des spinelles. *Bull. Minéral.* 105 (1982) 197– 202.
- [24] Zhou M.-F., Robinson P. T., "High-chromium and high-aluminum podiform chromitites, western China: Relationship to partial melting and melt/rock interaction in the upper mantle.", *Intl. Geol. Rev.* 36 (1994) 678–686.
- [25] Ballhaus C., "Origin of podiform chromite deposits by magma mingling.", *Earth and Planetary Science Letters*, 156 (1998) 185-193.
- [26] Kelemen P. B., Dick H. J. B., Quick J. E., "Formation of harzburgite by evasive melt/rock reaction in the upper mantle." *Nature* 358 (1992) 635–641.
- [27] Kelemen P., Hirth G., Shimizu N., Spiegelman M., Dick H. J. B., "A review of melt migration processes in the adiabatically upwelling mantle beneath oceanic spreading ridges", *Phil. Trans. R. Soc. Lond. A.* 355 (1997) 283–318.
- [4] Arai S., Yurimoto H., "Possible sub-arc origin of podiform chromitites.", *Island Arc*, 4 (1995) 104–111
- [5] Camp V. E., Griffis R. J., "Character, genesis and tectonic setting of igneous rocks in the Sistan suture zone", eastern Iran. *Lithos*, 15 (1982) 221 - 239.
- [6] Tirrul R., Bell I. R., Griffis R. j., Camp V. E., "The Sistan suture zone of eastern Iran. Geological Society of America Bulletin", 94 (1983) 134 – 150.
- [7] Delavari M., Amini S., Saccani E., Beccaluva L., "Geochemistry and Petrology of Mantle Peridotites from the Nehbandan Ophiolitic Complex", Eastern Iran. *Journal of Applied Sciences* 9 (2009) 2671-2687.
- [8] Delavari M., "Petrology and geochemistry of the Nehbandan Ophiolitic Complex. PhD thesis.", Tarbiat Moallem University of Tehran. (2010) 300 pp.
- [9] Saccani E., Delavari M., Beccaluva L., Amini S., "Petrological and geochemical constraints on the origin of the Nehbandan ophiolitic complex (eastern Iran): Implication for the evolution of the Sistan Ocean.", *Lithos* 117 (2010) 209-228.
- [10] Yaghoubpur A., Hassannejad A.A., "The Spatial Distribution of Some Chromite Deposits in Iran", Using Fry Analysis. *Journal of Sciences, Islamic Republic of Iran.* 17 (2006) 147-152.
- [11] Boudier F., Nicolas A., "Harzburgite and lherzolite subtypes in ophiolitic and oceanic environments.", *Earth Planet. Sci. Lett.* 76 (1985) 84–92.
- [12] Proenza J., Gerville F., Melgarejo J. C., Bodinier J.-L., "Al-rich and Cr-rich chromitites from the Mayari- Baracoa ophiolitic belt (Eastern Cuba) as the consequence of interaction between volatile-rich melts and peridotites in suprasubduction mantle.", *Econ. Geol.* 94 (1999) 547–566.
- [13] Zarrinkoub M. H., "Petrology and geochemistry of ophiolitic complexes in south of Birjand. Unpublished PhD thesis.", Tarbiat Moallem University of Tehran, (2000) 301p.
- [14] Zhou M.-F., Robinson P. T., Malpas J., Li Z., "Podiform Chromitites in the Luobusa Ophiolite (Southern Tibet): Implications for Melt-Rock Interaction and Chromite Segregation in the Upper Mantle.", *J. Petrology*, 37(1996) 3-21.
- [15] Leblanc M., Ceuleneer G., "Chromite crystallization in a multicellular magma flow: evidence from a chromitite dike in the Oman ophiolite.", *Lithos* 21 (1992) 231-257.

- [32] Rollinson H., "Chromite in the mantle section of the Oman ophiolite: A new genetic model.", *The Island Arc*, 14 (2005) 542-550.
- [33] Lorand J.P., Ceuleneer G., "Silicate and base-metal sulfide inclusions in chromite from the Maqsad area (Oman ophiolite)", *Gulf of Oman*: a model for entrapment. *Lithos*, 22 (1989) 173–190.
- [34] Edwards S.J., Pearce J.A., Freeman J., "New insights concerning the influence of water during the formation of podiform chromite", In: Dilek, Y., Moores, E.M., Elthon, D., Nicolas, A. (Eds.), *Ophiolites and oceanic crust: new insights from field studies and the ocean drilling program*. Geological Society of America Special Paper, 349 (2000) 139–147.
- [35] Matveev S., Ballhaus C., "Role of water in the origin of podiform chromitite deposits", *Earth and Planetary Science Letters*, 203 (2002) 235–243.
- [36] Arai S., Matsukage K., "Petrology of a chromitite micropod from Hess Deep, equatorial Pacific: A comparison between abyssal and alpine-type podiform chromitites", *Lithos* 43 (1998) 1–14.
- [28] Kepezhinskas P.K., Taylor R.N., Tanaka H., "Geochemistry of plutonic spinels from the north Kamchatka arc: comparisons with spinels from other tectonic settings.", *Mineralogical Magazine* 57 (1993) 575–589.
- [29] Pearce J.A., Lippard S.J., Roberts S., "Characteristics and tectonic significance of supra-subduction zone ophiolites", *Geol. Soc. Lond. Spec. Publ.* 16 (1984) 77–94.
- [30] Schiano P., Clocchiatti R., Lorand J.P., Massare D., Deloule E., Chaussidon M., "Primitive basaltic melts included in podiform chromites from the Oman Ophiolite", *Earth Planet. Sci. Lett.* 146 (1997) 489–497.
- [31] Zhou M.-F., Sun M., Keays R. R., Kerrich R. W., "Controls of platinum-group elemental distributions of podiform chromitites: a case study of high-Cr and high-Al chromitites from Chinese orogenic belts", *Geochim. Cosmochim. Acta*. 62 (1998) 677– 688.